

ДИНАМИКА ФАНТОМНОЙ МАТЕРИИ

*A. A. Шацкий**

*Астрокосмический центр, Физический институт им. П. Н. Лебедева Российской академии наук
117997, Москва, Россия*

Поступила в редакцию 21 декабря 2006 г.

Рассматривается сферически-симметричная модель эволюции самогравитирующей материи с уравнением состояния $p = -(1 + \delta)\varepsilon$ (при условии $\delta = \text{const}$). Уравнения модели записываются в сопутствующей материи системе отсчета. Определяется критерий существования и образования горизонта. Часть уравнений Эйнштейна интегрируется аналитически. Определяются начальные условия и ограничения на них в присутствии горизонта. Для малых δ найдено аналитическое решение сферически-симметричных нестационарных уравнений Эйнштейна. Определяются условия перехода динамики материи от коллапса к раздуванию. Оцениваются характерные времена эволюции системы. Доказывается, что черная дыра будет уменьшать свой радиус горизонта (т. е. «растягиваться») при аккреции на нее фантомной материи (при $\delta > 0$).

PACS: 04.20.-q, 04.40.-b, 04.70.-s

1. ВВЕДЕНИЕ

Фантомной принято считать материю, которая нарушает нулевое энергетическое условие [1]. Для материи, нарушающей это условие, сумма плотности энергии ε и давления p , $\varepsilon + p$, меньше нуля¹⁾. При этом в настоящей работе мы предполагаем, что плотность энергии ε у фантомной материи положительна (в сопутствующей ей системе отсчета). Величина $\varepsilon + p$ пропорциональна плотности энергии в системе отсчета, связанной с фотоном [2]. Разумеется, такая система отсчета бессмысленна; имеет смысл лишь асимптотический предел для системы, скорость которой приближается к скорости света.

Фантомная материя обладает рядом экзотических свойств, благодаря чему есть необходимость в ее детальном изучении.

Во-первых, только с такой материей возможно существование «крововых нор» (см., например, [3] или [4]).

Во-вторых, есть гипотеза [5], что фантомная материя обладает уникальным свойством растворения в ней черных дыр. До сих пор это было доказано только для несамосогласованного решения (когда

влиянием гравитации такой материи по сравнению с гравитацией обычной материи можно пренебречь). В то же время возможность окончательного растворения черной дыры в фантомной материи потребовала бы пересмотра определения и описания термина «горизонт событий», см. разд. 3.

В-третьих, современное состояние наблюдательной космологии позволяет говорить о возможном доминировании во вселенной фантомной материи (по последним результатам измерения ускорения расширяющейся вселенной). Кроме того, реальным примером существования фантомной материи является квантовое поле эффекта Казимира (между близкими плоскими проводящими пластинами [6]). Таким образом, вопрос изучения такой материи представляет реальный практический интерес [3, 7].

В-четвертых, известно аналитическое решение уравнений Эйнштейна для космологического уравнения состояния

$$\varepsilon + p = 0,$$

поэтому возможны малые отклонения от этого точного равенства в сторону уравнения состояния, соответствующего случаю фантомной материи, и появляется возможность найти решение в первом приближении по параметру малости.

С помощью найденного таким образом аналитического решения снимаются указанные выше противи-

*E-mail: shatskiy@asc.rssi.ru

¹⁾ Сами величины ε и p определяются в сопутствующей материи системе отсчета.

воречия и вопросы. Вопросы устойчивости решения в данной работе не рассматриваются.

2. УРАВНЕНИЯ ДВИЖЕНИЯ

Выберем сопутствующую материи систему отсчета (см., например, [8]). Метрический тензор в сферически-симметричном случае удобно выбрать в следующем виде²⁾

$$ds^2 = e^\nu dt^2 - e^\lambda dR^2 - e^\mu d\Omega^2. \quad (1)$$

Здесь компонента метрики $e^\mu \equiv r^2$ определяет площадь сферы вокруг центра системы ($4\pi r^2$), компоненты метрики ν, λ, μ и r являются функциями координат R и t ,

$$d\Omega^2 \equiv d\theta^2 + \sin^2 \theta d\varphi^2$$

— элемент телесного угла.

Уравнения Эйнштейна, соответствующие метрике (1), можно записать в виде³⁾

$$\begin{aligned} 8\pi\varepsilon = & -e^{-\lambda} \left(\mu'' + \frac{3}{4}(\mu')^2 - \frac{1}{2}\mu'\lambda' \right) + \\ & + e^{-\nu} \left(\frac{1}{2}\dot{\mu}\dot{\lambda} + \frac{1}{4}(\dot{\mu})^2 \right) + e^{-\mu}, \end{aligned} \quad (2)$$

$$\begin{aligned} 8\pi p_{\parallel} = & -e^{-\nu} \left(\ddot{\mu} + \frac{3}{4}(\dot{\mu})^2 - \frac{1}{2}\dot{\mu}\dot{\nu} \right) + \\ & + e^{-\lambda} \left(\frac{1}{2}\mu'\nu' + \frac{1}{4}(\mu')^2 \right) - e^{-\mu}, \end{aligned} \quad (3)$$

$$\begin{aligned} 8\pi p_{\perp} = & e^{-\lambda} \left(\frac{1}{2}\nu'' + \frac{1}{4}(\nu')^2 + \frac{1}{2}\mu'' + \right. \\ & \left. + \frac{1}{4}(\mu')^2 - \frac{1}{4}\mu'\lambda' - \frac{1}{4}\nu'\lambda' + \frac{1}{4}\mu'\nu' \right) + \\ & + e^{-\nu} \left(\frac{1}{4}\dot{\lambda}\dot{\nu} + \frac{1}{4}\dot{\mu}\dot{\nu} - \frac{1}{4}\dot{\lambda}\dot{\mu} - \frac{1}{2}\ddot{\lambda} - \right. \\ & \left. - \frac{1}{4}(\dot{\lambda})^2 - \frac{1}{2}\ddot{\mu} - \frac{1}{4}(\dot{\mu})^2 \right), \end{aligned} \quad (4)$$

$$2\dot{\mu}' + \dot{\mu}\mu' - \dot{\lambda}\mu' - \nu'\dot{\mu} = 0, \quad (5)$$

где

$$p_{\parallel} \equiv -T_R^R$$

²⁾ Мы используем систему единиц: $c = 1$ и $G = 1$.

³⁾ Вывод этих уравнений можно посмотреть, например, в [8] (задача 5 к § 100).

— продольное давление,

$$p_{\perp} \equiv -T_{\theta}^{\theta} = -T_{\varphi}^{\varphi}$$

— поперечное давление; штрих означает производную по R , а точка — по t , T_i^k — компоненты тензора энергии–импульса.

Если давление изотропно, $p_{\parallel} = p_{\perp} = p$, то из этих уравнений можно получить два полезных соотношения, которые также можно получить прямо из формулы $T_{i,k}^k = 0$ (тождества Бианки):

$$\dot{\lambda} + 2\dot{\mu} = -2\frac{\dot{\varepsilon}}{p + \varepsilon}, \quad \nu' = -2\frac{p'}{p + \varepsilon}. \quad (6)$$

Запишем уравнение состояния материи:

$$p = p_{\perp} = p_{\parallel} = w\varepsilon, \quad w \equiv -(1 + \delta), \quad (7)$$

где w — постоянный параметр, определяющий это уравнение. Для случая $\delta = 0$ из уравнений (6) очевидно, что

$$-p = \varepsilon = \text{const},$$

откуда следует известное решение [9] с Λ -членом:

$$\varepsilon = \varepsilon_{\Lambda} > 0, \quad \nu_{\Lambda} = -\lambda_{\Lambda} = \ln(1 - r_g/R - \Lambda R^2). \quad (8)$$

В этом выражении константа r_g соответствует гравитационному радиусу при наличии горизонта, а константа $\varepsilon_{\Lambda} \equiv 3\Lambda/8\pi$ есть плотность энергии космологического Λ -члена.

Из-за наличия Λ -члена при больших R метрика становится нефизичной (из-за внешнего горизонта). Поэтому здесь нужно определить максимально допустимый радиус R_{∞} :

$$\Lambda R_{\infty}^2 = 1. \quad (9)$$

Кроме того, асимптотика метрики при больших R должна быть галилеевой:

$$\nu_{\infty} \rightarrow 0. \quad (10)$$

Далее, говоря о физической бесконечности, будем все же предполагать, что границы метагалактики не достигаются, т. е. $R < R_{\infty}$.

3. КРИТЕРИЙ СУЩЕСТВОВАНИЯ ГОРИЗОНТА ВИДИМОСТИ

Радиус горизонта событий зависит от всей будущей эволюции материи [3]. Для описания реальных черных дыр это неудобно и с математической, и с практической точек зрения, поскольку определение

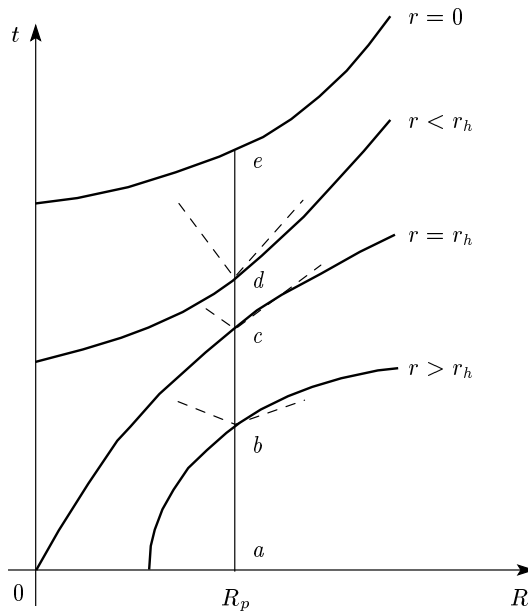


Рис. 1. Прямая $a-b-c-d-e$ — мировая линия наблюдателя в координатах сопутствующей системы отсчета. Кривые линии — зависимости $t(R)$ для разных поверхностей $r = \text{const}$. Штриховые линии — световые конусы, внутри которых может распространяться свет. В точке b световой конус пересекает поверхности $r = \text{const}$, следовательно, в этой точке еще нет горизонта. В точке d световой конус целиком проходит над кривой $r = \text{const}$, следовательно, он пересекает только поверхности с $r < r(R_p, t)$, поэтому точка d находится уже под горизонтом

горизонта событий не локально. Обычно, говоря о черной дыре, мы подразумеваем существование горизонта видимости («apparent horizon») и предполагаем образование горизонта событий в конце эволюции (как будет видно из дальнейшего, это не всегда соответствует действительности).

Дадим локальное определение горизонту видимости r_h [3]. Докажем, что горизонт видимости в системе со сферической симметрией образуется в момент достижения падающей частицей с ненулевой массой покоя скорости света относительно поверхности $r = \text{const}$ в той же самой точке, где в данный момент находится излучающая частица.

Предположим теперь, что мы с большого радиуса r_∞ , находясь на частице материи с координатой R_∞ , следим за частицей материи с координатой R_p , которая излучает свет, пролетая через сферы радиуса $r(R_p, t)$. Критерием того, что частица еще не достигла горизонта, является то обстоятельство, что мы все еще видим свет от нее, т. е. свет, рас-

пространяясь, еще пересекает поверхности с радиусами $r = \text{const}$. Следовательно, критерием достижения частицей горизонта является событие, при котором распространяющийся свет уже не может пересекать поверхности с радиусами $r > r(R_p, t)$. Выразим этот критерий математически.

На рис. 1 прямой вертикальной линией $a-b-c-d-e$ обозначена мировая линия частицы R_p в координатах сопутствующей системы отсчета (R, t) от момента покоя — (a) до центра системы (e), где $r = 0$. Сплошные кривые линии, проходящие через точки e, d, c, b , обозначают линии постоянных значений $r(R, t)$ соответственно при $r = 0, r < r_h, r = r_h$ и $r > r_h$. Штриховыми линиями с вершинами в этих точках обозначены конусы, внутри которых может распространяться свет, излученный частицей R_p . Поэтому, согласно указанному выше критерию, горизонт существует в той точке, где конус касается линии $r = \text{const}$, на рисунке эта линия соответствует значению $r = r_h$ (она проходит через точку c).

Условие постоянства радиуса $r(R, t)$ имеет вид

$$dr = 0 = \dot{r} dt + r' dR. \quad (11)$$

Отсюда можно выразить тангенс угла наклона кривой $r = \text{const}$ к оси R :

$$\frac{dt}{dR} \Big|_{r=\text{const}} = -\frac{r'}{\dot{r}}. \quad (12)$$

Для светового конуса (по определению) имеем

$$ds^2 = 0,$$

отсюда с учетом (1)

$$\frac{dt}{dR} \Big|_{ds=0} = \sqrt{e^{\lambda-\nu}}. \quad (13)$$

Тогда критерием отсутствия горизонта будет условие

$$\frac{dt}{dR} \Big|_{ds=0} < \frac{dt}{dR} \Big|_{r=\text{const}}. \quad (14)$$

Подставляя сюда выражения (12) и (13) и вводя физическую скорость V частицы материи, получим этот критерий в виде

$$V^2 \equiv e^{\lambda-\nu} (\dot{r}/r')^2 < 1. \quad (15)$$

Запишем элемент собственного (физического) времени

$$d\tau \equiv e^{\nu/2} dt, \quad (16)$$

физическое продольное расстояние

$$l(R, t) \equiv \int_0^R e^{\lambda/2} dR \quad (17)$$

и элемент физической длины

$$dl \equiv e^{\lambda/2} dR. \quad (18)$$

Тогда скорость движения вещества относительно поверхностей $r = \text{const}$ будет иметь вид

$$V = \frac{dl}{d\tau} \Big|_{r=\text{const}} = \sqrt{e^{\lambda-\nu}} \frac{dR}{dt} \Big|_{r=\text{const}} = \sqrt{e^{\lambda-\nu}} \frac{\dot{r}}{r'}. \quad (19)$$

Тем самым доказывается утверждение⁴⁾, что горизонт видимости образуется в момент достижения веществом скорости $|V| = 1$ относительно поверхностей $r = \text{const}$.

4. ОБЩИЕ ИНТЕГРАЛЫ ДВИЖЕНИЯ

Интегрируя первое уравнение (6) с учетом начальных условий, получаем

$$e^\lambda = e^{\lambda_0} \left(\frac{R}{r} \right)^4 \left(\frac{\varepsilon}{\varepsilon_0} \right)^{2/\delta}. \quad (20)$$

Интегрирование второго уравнения (6) дает

$$\nu = -2 \frac{1+\delta}{\delta} \ln \left(\frac{\varepsilon}{\varepsilon_\Lambda} \right) + c_0(t). \quad (21)$$

Функцию $c_0(t)$ можно положить равной нулю допустимым преобразованием времени $t = t(\tilde{t})$. Тогда

$$\nu = -2 \frac{1+\delta}{\delta} \ln \left(\frac{\varepsilon}{\varepsilon_\Lambda} \right). \quad (22)$$

При этом при $R \rightarrow \infty$ автоматически выполняется условие (10).

Переписываем уравнение (5) в виде

$$2\dot{r}' = r'\dot{\lambda} + \dot{r}\nu'. \quad (23)$$

Выразим отсюда $\dot{\lambda}$ и подставим его в уравнение (2). Получим

$$8\pi\varepsilon r^2 = \frac{1}{r'} \frac{d}{dR} \left(r - rr'^2 e^{-\lambda} + r\dot{r}^2 e^{-\nu} \right). \quad (24)$$

⁴⁾ Это утверждение неприменимо на горловине «круговой норы» (при ее наличии), так как там $e^{-\lambda} = 0$ тождественно. Поэтому условие существования горизонта около горловины определяется асимптотически: $V^2 \rightarrow 1$ при $r \rightarrow r_h$.

Введем новую величину, имеющую смысл массы

$$M(R, t) \equiv \int_0^R 4\pi\varepsilon r^2 r' dR. \quad (25)$$

После интегрирования уравнения (24) можно получить два уравнения:

$$2M = r \left(1 - r'^2 e^{-\lambda} + \dot{r}^2 e^{-\nu} \right), \\ V^2 = 1 - \frac{e^\lambda}{r'^2} \left(1 - \frac{2M}{r} \right). \quad (26)$$

Отсюда при условии

$$r'^2 e^{-\lambda} \Big|_{r=r_h} \neq 0$$

радиус горизонта определяется как

$$r_h = 2M(R_h, t_h). \quad (27)$$

Заметим, что уравнение (3) совпадает с уравнением (2) при замене производной по времени на производную по координате (и наоборот), замене $\lambda \leftrightarrow \nu$ и замене знака в последнем слагаемом этих уравнений. С учетом этого, по аналогии, уравнение (24) можно переписать в виде

$$-8\pi p_{||} r^2 = \frac{1}{r'} \frac{d}{dt} \left(r - rr'^2 e^{-\lambda} + r\dot{r}^2 e^{-\nu} \right). \quad (28)$$

После интегрирования по времени с учетом (26) и начальных условий получаем

$$2M = 2M_0 - \int_0^t 8\pi p_{||} r^2 \dot{r} dt. \quad (29)$$

Здесь

$$M_0 \equiv M(R, 0). \quad (30)$$

Из выражений (25) и (26) получаем выражение для начальной массы при наличии горизонта

$$2M_0 \equiv r_1 + \int_{r_1}^R 8\pi\varepsilon_0 R^2 dR, \quad (31)$$

где r_1 — начальный радиус горизонта, определяемый формулой

$$r_1 = r_g + \Lambda r_1^3 \approx r_g. \quad (32)$$

Формула (29) определяет смещение горизонта в веществе за счет работы сил давления над внутренними слоями материи (при коллапсе материи к центру). В работе [10] формула (29) была получена для частного случая $w = \text{const}$.

5. НАЧАЛЬНЫЕ УСЛОВИЯ БЕЗ ГОРИЗОНТА

Определим начальные условия задачи для модели, в которой нет горизонта в начальный момент времени. Допустимым преобразованием $R = R(\tilde{R})$ можно в начальный момент времени определить

$$r_0 = R \implies r'_0 = 1. \quad (33)$$

Кроме того, можно задать в начальный момент условие покоя материи:

$$\dot{r}_0 = 0, \quad V_0 = 0, \quad \dot{\lambda}_0 = 0, \quad \dot{\nu}_0 = 0. \quad (34)$$

Тогда из уравнений (26) можно получить

$$\lambda_0 = -\ln(1 - S), \quad (35)$$

где

$$S \equiv 2M_0/R,$$

причем этот результат не зависит от выбора δ .

6. НАЧАЛЬНЫЕ УСЛОВИЯ ПРИ НАЛИЧИИ ГОРИЗОНТА

В рассматриваемой модели предполагается возможность существования горизонта в начальный момент времени, причем это касается и чисто вакуумного решения с А-членом. Поэтому о начальных условиях вблизи горизонта стоит сказать отдельно.

Начальное условие (33) сохраняется. С учетом (15) имеем, с одной стороны,

$$V_0^2|_{r_h} = (\dot{r}_0)^2 e^{(\lambda_0 - \nu_0)}|_{r_h} = 1,$$

а с другой стороны,

$$\dot{r}_0 = 0, \quad e^{\lambda_0}|_{r_h} \rightarrow \infty.$$

Поэтому на горизонте мы получаем неопределенность вида $0 \cdot \infty$. Устранив эту неопределенность, мы получим физическое распределение для скорости V_0 в начальный момент:

$$|V_0(R)| = \begin{cases} 0, & R \neq r_h, \\ 1, & R = r_h, \end{cases} \quad (36)$$

т.е. начальное распределение скорости — это функция с «выколотой точкой».

Для более корректного обоснования формулы (36) модифицируем начальные условия: будем считать $\dot{r}_0 \neq 0$. Перепишем второе выражение (26) в виде

$$e^{-\lambda_0} = 1 + \alpha - S, \quad (37)$$

где $\alpha \equiv \dot{r}_0^2 e^{-\nu_0}$ — величина, определяемая начальным распределением скорости материи.

Отсюда для начального распределения скорости получаем

$$V_0^2(R) = \frac{\alpha}{1 + \alpha - S}. \quad (38)$$

При $\alpha \rightarrow 0$ выражение (38) переходит в (36).

7. АНАЛИТИЧЕСКОЕ РЕШЕНИЕ

Введем обозначение

$$y \equiv \ln(\varepsilon/\varepsilon_\Lambda). \quad (39)$$

При $\delta \rightarrow 0$ имеем $\varepsilon \rightarrow \varepsilon_\Lambda$, поэтому $y \rightarrow 0$ при $\delta \rightarrow 0$.

Подставляя $\dot{\lambda}$ и ν' из уравнений (6) в уравнение (23), получаем

$$\delta \left(\frac{\dot{r}'}{\dot{r}r'} + \frac{2}{r} \right) = \frac{\dot{y}}{\dot{r}} - (1 + \delta) \frac{y'}{r'}. \quad (40)$$

Перейдем от старых координат (R, t) к новым координатам (r, r_h) , являющимся функциями старых координат. Путем тривиального математического преобразования получаем следующее выражение:

$$\frac{\dot{y}}{\dot{r}} - \frac{y'}{r'} = \frac{\partial y}{\partial r_h} \left(\frac{\dot{r}_h}{\dot{r}} - \frac{r_h'}{r'} \right). \quad (41)$$

В разд. 10 будет показано, что при малых δ изменение r_h тоже мало (причем пропорционально δ). Учитывая также то, что $y \rightarrow 0$ при $\delta \rightarrow 0$, получаем, что при $\delta \rightarrow 0$ правой частью в (41) можно пренебречь. Тогда уравнение (40) переписывается в виде

$$\delta \left(\frac{\dot{r}'}{\dot{r}r'} + \frac{2}{r} \right) \approx 0. \quad (42)$$

Теперь найдем решение уравнений Эйнштейна, в котором функция y (а также ε и ν) зависит явно только от функций r и r_h и не зависит явно от t и R . При таком задании плотности материи зависимость $\varepsilon(r)$ определяется исключительно заданием начального распределения плотности материи.

При $\delta \rightarrow 0$ выражения (22) и (37) для ν_0 и λ_0 должны стремиться соответственно к ν_Λ и λ_Λ (см. (8)), а α должно стремиться к нулю. В соответствии с этим выбираем распределение плотности энергии в виде

$$\varepsilon = \varepsilon_\Lambda \left[1 - \frac{\delta}{2} \ln \left(1 + \alpha - \frac{r_h}{r} \right) \right], \quad (43)$$

$$\nu = -2 \frac{1 + \delta}{\delta} y \approx (1 + \delta) \ln \left(1 + \alpha - \frac{r_h}{r} \right).$$

В главном приближении по δ с учетом начальных условий получаем

$$\frac{\dot{r}'}{r'} \approx -\frac{2\dot{r}}{r} \implies r' \approx \left(\frac{R}{r}\right)^2. \quad (44)$$

Из выражения (31) получаем

$$2M_0 \approx r_g + \Lambda R^3 - \frac{3}{2} \delta \Lambda r_1^3 I(R/r_1 - 1),$$

где

$$I(x) = x^3 \left[\frac{\ln x}{3} - \frac{1}{9} \right] + x^2 \left[\frac{\ln x}{2} - \frac{1}{4} \right] + x [\ln x - 1] - (x+1)^3 \left[\frac{\ln(x+1)}{3} - \frac{1}{9} \right] - \frac{1}{9}, \quad (45)$$

$$\lim_{x \rightarrow 0} I(x) = x(\ln x - 1) \rightarrow 0.$$

Учитывая, что ε явно зависит только от r , из выражения (29) получаем

$$2M = 2M_0(R) - (1+\delta) \int_r^R 8\pi\varepsilon r^2 dr = \\ = 2M_0(r) - \delta \int_r^R 8\pi\varepsilon r^2 dr. \quad (46)$$

В главном приближении по δ выражение (46) переписывается в виде

$$2M \approx r_g + \Lambda r^3 - \delta \Lambda \left[R^3 - r^3 + \frac{3}{2} r_1^3 I(r/r_1 - 1) \right]. \quad (47)$$

Из (20) и (37) находим

$$e^\lambda \approx \frac{(R/r)^4}{1+\alpha-S} \left[\frac{1-\frac{\delta}{2} \ln(1+\alpha-r_h/r)}{1-\frac{\delta}{2} \ln(1+\alpha-r_h/R)} \right]^{2/\delta}. \quad (48)$$

Отсюда, с помощью (26), применяя второй замечательный предел к (48), получаем

$$e^\lambda \approx \frac{(R/r)^4}{1+\alpha-S} \left(\frac{1+\alpha-r_h/R}{1+\alpha-r_h/r} \right), \\ V^2 \approx 1 - \frac{1-2M/r}{1+\alpha-S} \left(\frac{1+\alpha-r_h/R}{1+\alpha-r_h/r} \right). \quad (49)$$

Согласно второму выражению (26), радиус горизонта r_h определяется формулой $r_h = 2M$. Тогда при $\delta \rightarrow 0$ из (47) получаем

$$r_h - r_1 \approx -\delta \Lambda (R^3 - r_1^3). \quad (50)$$

Из найденного решения, однако, неясно направление эволюции системы (коллапс или расширение). Направление эволюции определяется ускорением, действующим на материю в начальный момент.

8. УСКОРЕНИЕ

Для второй производной радиуса r по времени t из уравнений (3) и (37) в начальный момент получаем

$$2Re^{-\nu_0} \ddot{r}_0 = (1+\delta) 8\pi\varepsilon R^2 + R\dot{r}_0\nu_0 e^{-\nu_0} - \\ - S + R\nu'_0(1+\alpha-S). \quad (51)$$

Собственное ускорение $a = dV/d\tau$ сопутствующего материи наблюдателя в начальный момент равно (см. (19))

$$a_0 = \ddot{r}_0 e^{\lambda_0/2-\nu_0}. \quad (52)$$

При малых δ из (43) и (45) получаем

$$\nu_0 \approx (1+\delta) \ln(1+\alpha-S), \\ S \approx \frac{r_g}{R} + \Lambda R^2 - \frac{3}{2} \delta \Lambda \frac{r_1^3}{R} I(R/r_1 - 1), \\ RS' \approx -\frac{r_g}{R} + 2\Lambda R^2 + \frac{3}{2} \delta \Lambda \frac{r_1^3}{R} \times \\ \times [I(R/r_1 - 1) - RI'(R/r_1 - 1)]. \quad (53)$$

Переписываем (51) с учетом (53)⁵⁾

$$2Re^{-\nu_0} \ddot{r}_0 \approx \delta \left[\frac{r_g}{R} + \Lambda R^2 + \frac{3}{2} \Lambda r_1^3 I' \right] + \\ + \alpha \frac{r_g/R - 2\Lambda R^2 + \frac{3}{2} \delta \Lambda r_1^3 (I' - I/R)}{1+\alpha-S}. \quad (54)$$

Отсюда видно, что (как и должно быть) ускорение равно нулю при $\delta = 0$ (и $\alpha = 0$).

При радиусах R , близких к r_1 , доминирующими в (54) оказываются члены, содержащие

$$I' \approx \ln(R/r_1 - 1)/r_1 < 0.$$

Обозначим

$$R_{cr} \approx r_1 \left[1 + \exp \left(-\frac{2}{3\delta\Lambda r_1 R_{cr}} \right) \right] \approx \\ \approx r_1 \left[1 + \exp \left(-\frac{2}{3\delta\Lambda r_1^2} \right) \right] \approx r_1. \quad (55)$$

Тогда из (54) находим, что при $\delta > 0$ при $R > R_{cr}$ в начальный момент материя будет расширяться, а при $R < R_{cr}$ (в непосредственной близости от горизонта) — коллапсировать.

⁵⁾ Здесь, так же, как и ранее, штрих означает производную по R .

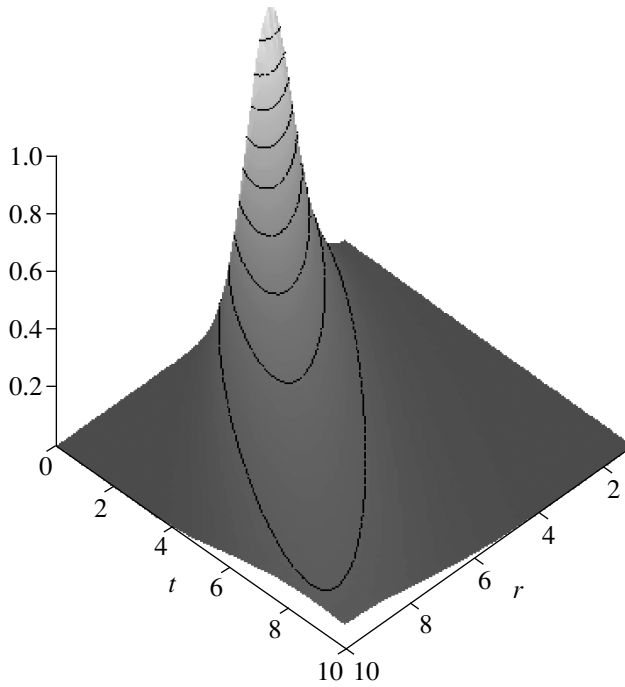


Рис. 2. Поведение сгустка фантомной материи. Сгусток, имевший в состоянии покоя гауссово распределение, с течением времени начинает размываться. По вертикальной оси отложена нормированная на единицу плотность энергии

9. ХАРАКТЕРНЫЕ ВРЕМЕНА ЭВОЛЮЦИИ СИСТЕМЫ

В этом разделе мы не будем предполагать малости δ . Тогда, пренебрегая α , с помощью (51) можно получить характерное время эволюции системы:

$$T \sim \sqrt{r/|\ddot{r}|}.$$

В случае, если начальное распределение материи имеет большие градиенты, всеми членами, кроме содержащих $R\nu_0'$, в выражении (51) можно пренебречь. Тогда из (51) и (52) получаем

$$\begin{aligned} \ddot{r}_0 &\approx \frac{w}{\delta} \left(\frac{\varepsilon_0'}{\varepsilon_0} \right) \left(\frac{\varepsilon_0}{\varepsilon_\Lambda} \right)^{2w/\delta} (1 - S), \\ a_0 &\approx \frac{w}{\delta} \left(\frac{\varepsilon_0'}{\varepsilon_0} \right) \sqrt{1 - S}. \end{aligned} \quad (56)$$

Согласно формулам (56), имеются два противоположных варианта эволюции материи с начальным распределением в виде шарового слоя с локальным максимумом плотности энергии

1. В случае фантомной материи ($\delta > 0$) получаем размывающийся слой материи (см. рис. 2).

2. В случае $\delta < 0$ получаем коллапсирующий слой материи.

Заметим, что чем больше градиент плотности, тем быстрее происходит эволюция. Видимо, эти выводы можно обобщить и на несферическую модель.

Соответствующие выражениям (56) характерные времена эволюции определяются следующим образом:

$$\begin{aligned} T_1 &\sim \sqrt{\frac{|(\delta/w)R\varepsilon_0(\varepsilon_\Lambda/\varepsilon_0)^{2w/\delta}|}{|\varepsilon_0'(1-S)|}}, \\ T_2 &\sim \sqrt{\frac{|(\delta/w)R\varepsilon_0|}{|\varepsilon_0' \sqrt{(1-S)}|}}. \end{aligned} \quad (57)$$

Здесь T_1 — время для наблюдателя, удаленного на бесконечность, а T_2 — для наблюдателя, сопутствующего материи.

В заключение этого раздела рассмотрим эволюцию участка максимальной плотности энергии («горба», см. рис. 2). На этом участке $R\nu_0' \approx 0$, поэтому формулы (51) и (52) на нем принимают вид

$$\begin{aligned} \ddot{r}_0 &\approx \frac{e^{(\nu_0)} [(1 + \delta) \cdot 8\pi\varepsilon_0 R^2 - S]}{2R}, \\ a_0 &\approx \frac{(1 + \delta) \cdot 8\pi\varepsilon_0 R^2 - S}{2R\sqrt{1 - S}}. \end{aligned} \quad (58)$$

Поскольку при начальном распределении материи, аналогичном показанному на рис. 2, в точке максимума

$$S = \int_0^R 8\pi\varepsilon R^2 dR / R < 8\pi\varepsilon_0 R^2,$$

ускорение в этой точке оказывается положительным, т. е. «горб» разлетается от центра системы (при любых $\delta > 0$).

10. ДИНАМИКА ГОРИЗОНТА ВИДИМОСТИ

Поскольку все частицы могут пересекать горизонт только в одном направлении, на горизонте между координатами R_h и t_h устанавливается строгое соответствие. Это означает, что зависимость $R_h(t)$ имеет характер непрерывной и монотонно-возрастающей функции ($\dot{R}_h > 0$).

Рассматривая формулу (29) на горизонте и дифференцируя ее по времени, получаем для изменения радиуса горизонта выражение

$$\dot{r}_h = 8\pi\varepsilon_0 R_h^2 \frac{dR_h}{dt} - 8\pi w\varepsilon r^2 \dot{r}. \quad (59)$$

Учитывая выражение (12), переписываем (59) в виде

$$\dot{r}_h = 8\pi\varepsilon_0 R_h^2 \dot{R}_h \left(1 + wr' \frac{\varepsilon}{\varepsilon_0} \frac{r^2}{R^2} \right). \quad (60)$$

Рассмотрим два варианта изменения радиуса горизонта.

10.1. Тестовая материя

Исследуем динамику горизонта для тестовой материи (которая пренебрежимо мало влияет на изменения системы и на радиус горизонта). Для такой материи все функции должны зависеть только от r . В противном случае метрика в статической (несопутствующей) системе координат получается нестацичной, что означает влияние на нее материи (т. е. нарушение условия того, что материя является тестовой).

Уравнение (11) определяет условие постоянства r , а условие постоянства компоненты метрики ν имеет вид

$$d\nu = 0 = \nu' dR + \dot{\nu} dt. \quad (61)$$

Решая совместно уравнения (11) и (61), получаем

$$\nu' \dot{r} = \dot{\nu} r'. \quad (62)$$

Из уравнений (23) и (62) получаем

$$2\dot{r}'/r' = \dot{\lambda} + \dot{\nu}. \quad (63)$$

Интегрирование этого уравнения с начальными условиями дает

$$r' = \sqrt{\exp(\lambda - \lambda_0 + \nu - \nu_0)}, \quad (64)$$

Откуда, с учетом выражений (20) и (22), находим

$$r' = \frac{\varepsilon_0}{\varepsilon} \frac{R^2}{r^2}. \quad (65)$$

Теперь выражение (60) для изменения радиуса горизонта запишется в виде

$$\dot{r}_h = 8\pi\varepsilon_0 R_h^2 \dot{R}_h (1 + w) = -8\pi\delta\varepsilon_0 R_h^2 \dot{R}_h. \quad (66)$$

Таким образом, при $w < -1$ имеем $\dot{r}_h < 0$, т. е. в случае тестовой материи будет происходить уменьшение радиуса горизонта, черная дыра будет «растягиваться» в фантомной материи. В выражении (66) «тестовость» материи проявляется в чрезвычайной малости величины $8\pi\varepsilon_0 R^2 \ll 1$. Этот результат был предсказан и доказан для несопутствующей материи системы отсчета (жесткой системы отсчета, покоящейся относительно удаленных звезд) в работе [5].

10.2. Нетестовая материя

Формулу (66) можно обобщить на нетестовую материю. Для этого достаточно заметить, что в случае постоянного радиуса горизонта метрические коэффициенты на горизонте тоже не зависят от времени (гравитационное поле на некотором радиусе r определяется только массой внутри этого радиуса, т. е. в данном случае радиусом горизонта). Поэтому при $\dot{r}_h = 0$ должно выполняться соотношение

$$d\nu|_{r_h} = 0.$$

Используя это в выражении (61) на горизонте, получаем в итоге тот же результат (66). Следовательно, если радиус горизонта не меняется при акреции материи, то должно быть $w = -1$.

При $\delta = 0$ радиус горизонта не меняется, а при малых δ он меняется слабо. Если рассматривать уравнение (61) при $r = r_h$, то можно записать

$$d\nu|_{r_h} = \dot{\nu} dt + \nu' dR. \quad (67)$$

Решая совместно уравнения (11) и (67), получаем

$$\nu' \dot{r} = \dot{\nu} r' - r' \left. \frac{d\nu}{dt} \right|_{r=r_h=\text{const}} \quad (68)$$

— аналог уравнения (62). Из уравнений (68) и (23) получаем

$$\frac{2\dot{r}'}{r'} = \dot{\lambda} + \dot{\nu} - \left. \frac{d\nu}{dt} \right|_{r=r_h=\text{const}}. \quad (69)$$

Интегрирование этого уравнения с начальными условиями дает

$$r' = \sqrt{\exp(\lambda - \lambda_0 + \nu - \nu_0) \exp(\nu_{[1]} - \nu_{[2]})}. \quad (70)$$

Здесь введены обозначения $[1] \equiv (r_h, 0)$, $[2] \equiv (R_h, t_h)$, причем $r_{[1]} = r_{[2]} = r_h$. Аналогично находим выражение для изменения радиуса горизонта:

$$\dot{r}_h = 8\pi\varepsilon_0 R_h^2 \dot{R}_h [1 + w\Psi],$$

$$\Psi \equiv \sqrt{\exp(\nu_{[1]} - \nu_{[2]})} = \left(\frac{\varepsilon_{[1]}}{\varepsilon_{[2]}} \right)^{w/\delta}. \quad (71)$$

Это точные выражения, они не зависят от δ . Таким образом, направление смещения горизонта определяется начальными условиями распределения материи. Условие уменьшения радиуса горизонта имеет вид

$$w\Psi < -1.$$

При распределении материи, зависящем явно только от r , получается $\Psi = 1$. Тогда из выражений (13), (43), (49) и (71) получаем

$$\begin{aligned} \dot{r}_h &\approx -3 \left(\frac{\delta}{\sqrt{\alpha}} \right) \Lambda r_h^2 (1 + \alpha - S)^{3/2} \implies \\ &\implies T_{r_1 \rightarrow r_h} \approx \frac{\sqrt{\alpha}(r_1 - r_h)}{3|\delta|\Lambda r_1 r_h (1 + \alpha - S)^{3/2}}. \end{aligned} \quad (72)$$

Отсюда видно, что в общем случае эффект «растворения» черной дыры при малых δ достаточно мал.

11. ВЫВОДЫ

Основной вывод настоящей работы состоит в подтверждении гипотезы о возможном уменьшении радиуса горизонта («растворении») черной дыры.

Заметим, что на бесконечности не возникает никакого парадокса, связанного с этим эффектом. В отсутствие материи метрика на бесконечности продолжает оставаться шварцшильдовской (с Λ -членом). Соответственно, полная масса всей системы, связанная с этой метрикой, остается постоянной. Дело в том, что во время эволюции масса и энергия перераспределяются в пространстве: внешняя волна фантомной материи уносит массу и энергию, соответствующие первоначальной черной дыре (которая «растворяется» под действием внутренней волны фантомной материи). Если же окончательного «растворения» черной дыры не произошло, то полная энергия системы складывается из массы измененной черной дыры и энергии внешней волны фантомной материи.

Автор выражает глубокую благодарность за обсуждение различных вопросов при подготовке статьи И. Д. Новикову и Н. С. Кардашеву.

Работа выполнена при частичной финансовой поддержке РФФИ (гранты №№ 04-02-16987-а и 04-02-17257-а) и программы поддержки научных школ (грант № НШ-1653.2003.2).

ЛИТЕРАТУРА

1. M. Visser, *Lorentzian Wormholes: from Einstein to Hawking*, Springer AIP (1996).
2. А. А. Шацкий, Астрон. ж. **84**, 99 (2007).
3. V. P. Frolov and I. D. Novikov, *Black Hole Physics. Basic Concepts and New Developments*, Kluwer AP (1998).
4. А. А. Шацкий, Астрон. ж. **81**, 579 (2004).
5. E. Babichev, V. Dokuchaev, and Y. Eroshenko, E-print archives gr-qc/0507119.
6. A. R. Khabibullin, N. R. Khusnutdinov, and S. V. Sushkov, E-print archives hep-th/0510232.
7. Н. С. Кардашев, И. Д. Новиков, А. А. Шацкий, Астрон. ж. **83**, 675 (2006).
8. Л. Д. Ландау, Е. М. Лифшиц, *Теория поля*, Наука, Москва (1988).
9. M. Wyman, Phys. Rev. **75**, 1930 (1949).
10. А. А. Шацкий, А. Ю. Андреев, ЖЭТФ **116**, 353 (1999).